

Подход к автоматизации дифференциальных методов анализа

Тавокин Михаил Александрович Бондакова Ольга Сергеевна

ООО «СФБ Лаб»

РТУ МИРЭА

РусКрипто'2025
Mikhail.Tavokin@sfblaboratory.ru



Вступление

Цель – показать возможности использования MILP при построении Rebound-атаки на функции хэширования, использующие блочные шифры с нетипичными размерами блока.

Актуальность – семейство функций хэширования «MORA-Z» является перспективным семейством параметризуемых низкоресурсных криптографических алгоритмов.



Архитектура хэш-функции «MORA-Z»

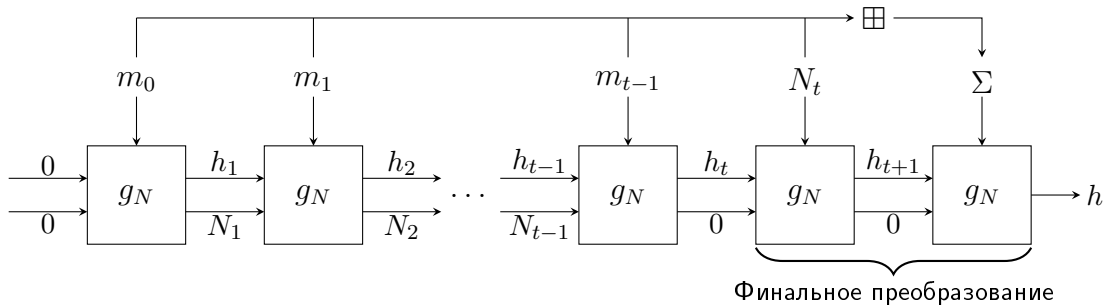
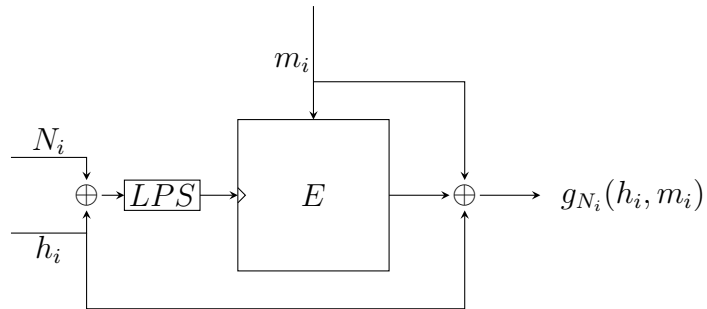


Схема функции сжатия g



$$E(K, m) = X[k_{r+1}]LPSX[k_r] \dots LPSX[k_1](m)$$

Различия алгоритмов. Часть 1

| Алгоритм | Размер внутреннего состояния, $a \times b$ | Размер хэш-значения, Z бит | Число раундов, r |
|----------|--|------------------------------|--------------------|
| MORA-64 | 4×4 | 64 | 10 |
| MORA-80 | 5×4 | 80 | 15 |
| MORA-96 | 6×4 | 96 | 15 |
| MORA-128 | 8×4 | 128 | 20 |
| MORA-160 | 10×4 | 160 | 20 |



Различия алгоритмов. Часть 2

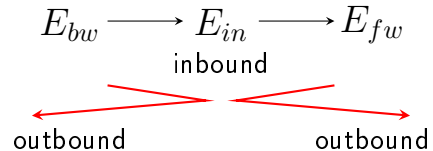
Подстановка $\pi = (15, 9, 1, 7, 13, 12, 2, 8, 6, 5, 14, 3, 0, 11, 4, 10)$ для всех алгоритмов одинаковая.

Перестановка τ является уникальной для каждого алгоритма:

| Алгоритм | Перестановка τ |
|----------|--|
| MORA-64 | (0, 4, 8, 12, 1, 5, 9, 13, 2, 6, 10, 14, 3, 7, 11, 15) |
| MORA-80 | (0, 4, 8, 12, 1, 5, 9, 16, 2, 6, 13, 17, 3, 10, 14, 18, 7, 11, 15, 19) |
| MORA-96 | (0, 4, 8, 12, 1, 5, 9, 16, 2, 6, 13, 20, 3, 10, 17, 21, 7, 14, 18, 22, 11, 15, 19, 23) |
| MORA-128 | (0, 4, 8, 12, 1, 5, 9, 16, 2, 6, 13, 20, 3, 10, 17, 24, 7, 14, 21, 28, 11, 18, 25, 29, 15, 22, 26, 30, 19, 23, 27, 31) |
| MORA-160 | (0, 4, 8, 12, 1, 5, 9, 16, 2, 6, 13, 20, 3, 10, 17, 24, 7, 14, 21, 28, 11, 18, 25, 32, 15, 22, 29, 36, 19, 26, 33, 37, 23, 30, 34, 38, 27, 31, 35, 39) |



Rebound-атака



Rebound-атака – алгоритм криптографического анализа функций хэширования, которые используют *XSP_L* блочные шифры. Цель – поиск коллизий.

$$E = E_{fw} \circ E_{in} \circ E_{bw}$$



Этапы атаки

| | Этап атаки | Метод автоматизации |
|---|--|---------------------|
| 1 | Построение паттерна дифференциального пути | MILP |
| 2 | Inbound-фаза | Перебор |
| 3 | Outbound-фаза | MILP |



MILP (англ. Mixed Integer Linear Programming – смешанное целочисленное линейное программирование) — это метод оптимизации, который используется для решения задач, использующих как вещественные, так и целочисленные переменные.

Сущность MILP

$$\begin{cases} a_{11}x_1 + a_{12}x_2 + \dots + a_{1n}x_n \leq b_1, & a_{ij} \in \mathbb{R}, \\ a_{21}x_1 + a_{22}x_2 + \dots + a_{2n}x_n \leq b_2, & b_i \in \mathbb{R}, \\ \vdots \\ a_{m1}x_1 + a_{m2}x_2 + \dots + a_{mn}x_n \leq b_m, & x_j \in \mathbb{Z}, i \in \overline{1, m}, j \in \overline{1, n} \end{cases}$$

Решением задачи линейного программирования является поиск таких решений $x_1, \dots, x_n, n \in \mathbb{N}$, при которых с учетом ограничений осуществляется поиск либо минимума, либо максимума заданной **целевой функции** в зависимости от поставленной задачи.

$$z = \sum_{j=1}^n c_j x_j \rightarrow \max (\min), z \in \mathbb{Z}$$



Моделирование первого этапа атаки

Переменные:

- 1 $\mathbb{S}_{r,k} \in \{0, 1\}$ – статус активности ячейки (задействованной в S преобразовании) $k = 4 \cdot i + j$ (строка i , столбец j). 1 активна, 0 – в противном случае;
- 2 $\mathbb{M}_{r,j} \in \{0, 1\}$ – статус активности строки j до преобразования L . 1 активна, 0 – в противном случае.



Неравенства для первого этапа

Основное неравенство для каждого раунда r :

$$5 \cdot \mathbb{M}_{r,i} \leq \sum_j \mathbb{S}_{r,\tau(4i+j)} + \sum_j \mathbb{S}_{r+1,4i+j} \leq 8 \cdot \mathbb{M}_{r,i}$$

Условие ненулевой суммы активных ячеек:

$$\sum_k \mathbb{S}_{0,k} \geq 1$$

Совпадение промежуточных состояний:

$$\mathbb{S}_{0,k} = \mathbb{S}_{r,k}$$



Целевая функция первого этапа

Целевой функцией при моделировании первого этапа является функция подсчета числа активных ячеек. На данном этапе производится поиска минимума данной целевой функции:

$$\sum_{r,k} \mathbb{S}_{r,k} \rightarrow \min$$



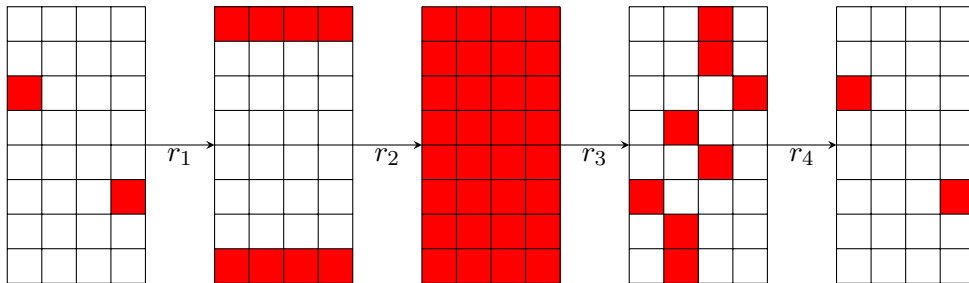
Технические характеристики

- Процессор: Intel core i5 9300HF (2.4 ГГц, 4 ядра, 8 потоков);
- ОЗУ: 16 ГБ;
- Версия интерпретатора Python: Python 3.9.0;
- Версия компилятора C: GNU GCC 12;
- MILP-решатель: IBM ILOG CPLEX Interactive Optimizer версии 22.1.0.0.



Результат первого этапа

Всюду далее будут демонстрироваться результаты моделирования для алгоритма MORA-128 на 4 раунда.

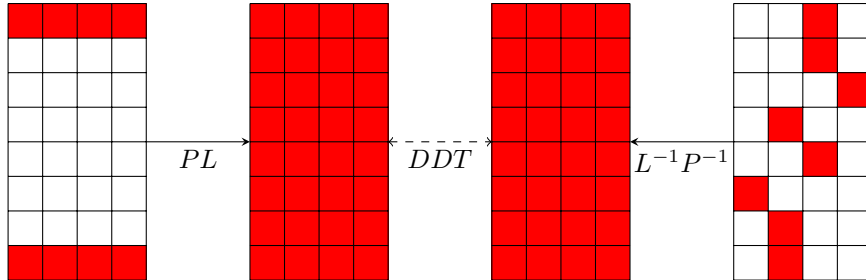


$$E_{in} = L \circ P \circ S \circ X[k_3] \circ L \circ P$$

$$E_{bw} = S \circ X[k_2] \circ L \circ P \circ S \circ X[k_1], E_{fw} = X[k_5] \circ L \circ P \circ S \circ X[k_4]$$

Второй этап атаки

Второй этап заключается в «состыковке» возможных пар дифференциалов на концах состояний композиции E_{in} .



Моделирование третьего этапа. Преобразование S . Часть 1

Пусть π – биективная подстановка, имеющая вход (x_0, x_1, x_2, x_3) и выход (y_0, y_1, y_2, y_3) , где $x_i, y_i \in V_2, i \in \overline{0, 3}$.

$$\begin{cases} x_0 - A \leq 0 \\ x_1 - A \leq 0 \\ x_2 - A \leq 0 \\ x_3 - A \leq 0 \\ x_0 + x_1 + x_2 + x_3 - A \geq 0 \\ 4(x_0 + x_1 + x_2 + x_3) - (y_0 + y_1 + y_2 + y_3) \geq 0 \\ 4(y_0 + y_1 + y_2 + y_3) - (x_0 + x_1 + x_2 + x_3) \geq 0 \end{cases}$$



Моделирование третьего этапа. Преобразование S . Часть 2

Пусть мы хотим смоделировать подстановку π , в которой переход осуществляется с определенной вероятностью:

$$p = P[(x_0, x_1, x_2, x_3) \rightarrow (y_0, y_1, y_2, y_3)]$$

Согласно таблице DDT, возможны три ненулевые вероятности: 2^{-3} , 2^{-2} и 1.
Закодируем эту информацию в двух битах (π_0, π_1) :

$$(\pi_0, \pi_1) = (0, 0) \rightarrow p = 1$$

$$(\pi_0, \pi_1) = (0, 1) \rightarrow p = 2^{-3}$$

$$(\pi_0, \pi_1) = (1, 0) \rightarrow p = 2^{-2}$$



Моделирование третьего этапа. Преобразование S . Часть 2

Закодируем вход, выход и вероятность перехода в единый двоичный вектор:

$$\xi = (x_0, x_1, x_2, x_3, y_0, y_1, y_2, y_3, \pi_0, \pi_1)$$

Для представления входного вектора как систему линейных неравенств, необходимо воспользоваться H -представлением.

$$\begin{cases} (\gamma_{0,0}, \gamma_{0,1}, \dots, \gamma_{0,9}) \cdot \xi + \gamma_{0,10} \leq 0 \\ \vdots \\ (\gamma_{t-1,0}, \gamma_{t-1,1}, \dots, \gamma_{t-1,9}) \cdot \xi + \gamma_{t-1,10} \leq 0 \end{cases}$$

где $\gamma_{i,j} \in \mathbb{Z}$ – искомые переменные, $j \in \overline{0, 10}$, $i \in \overline{0, t-1}$,
 t означает общее число неравенств.

Поиск $\gamma_{i,j}$ осуществляется с помощью программы MILES.

Моделирование третьего этапа. Преобразование P

Поскольку перестановка является линейным преобразованием и влияет лишь на расположение ячеек, то в построении отдельных неравенств не нуждается. Его можно «склеить» со следующим преобразованием.



Моделирование третьего этапа. Преобразование L . Часть 1

Пусть $(x_0, x_1, \dots, x_{15})$ – векторная строка матрицы внутреннего состояния, G^{bin} – значение битовой матрицы, $(y_0, y_1, \dots, y_{15})$ – векторная строка, полученная в результате умножения $(x_0, x_1, \dots, x_{15})$ на G^{bin} . Формулировка значений $y_k, k \in \overline{0, 15}$ выглядит следующим образом.

$$y_k = x_0 \cdot G_{0,k}^{bin} \oplus x_1 \cdot G_{1,k}^{bin} \oplus \dots \oplus x_{15} \cdot G_{15,k}^{bin}$$

где $G_{i,j}^{bin}$ - элемент из строки i и столбца j матрицы G^{bin} .



Моделирование третьего этапа. Преобразование L . Часть 2

Для построения системы моделируется операция « n -XOR», то есть $a_0 \oplus a_1 \oplus \dots \oplus a_n = b$, где $a_0, \dots, a_n, b \in \{0, 1\}$ с применением вспомогательных переменных $d_i \in \{0, 1\}, i \in \mathbb{N}$. Если n чётное, то неравенство в общем случае выглядит следующим образом:

$$\sum_{i=0}^n a_i + b = (n+2)d_1 - (nd_2 + (n-2)d_3 + \dots + 2d_{\frac{n}{2}+1})$$

В случае, если n нечётное неравенство выглядит так:

$$\sum_{i=0}^n a_i + b = (n+1)d_1 - ((n-1)d_2 + (n-3)d_3 + \dots + 2d_{\frac{n-1}{2}+1})$$



Моделирование третьего этапа. Целевая функция

В случае Rebound-атаки максимизируется вероятность дифференциального пути фазы **Outbound**. Пусть каждой паре $(\pi_{i,0}, \pi_{i,1})$ на раунде i поставим в соответствии значение $-\log_2 p_i$. Тогда в MILP модели целевая функция будет построена следующим образом:

$$\sum_i 2\pi_{i,0} + 3\pi_{i,1} \rightarrow \min$$



Результат третьего этапа

В итоге получен дифференциальный путь фазы **Outbound** с вероятностью 2^{-51} .

| | |
|-----------------------|--|
| $\alpha = \Delta_L^0$ | 0x00000000d000000000000000a0000000 |
| Δ_S^1 | 0x00000000400000000000000070000000 |
| Δ_L^1 | 0xbd7b0000000000000000000000000000a7e9 |
| Δ_S^2 | 0x761100000000000000000000000000001111 |
| INBOUND | |
| Δ_L^3 | 0x00900050000a0f0000b0c0000c000500 |
| Δ_S^4 | 0x00a0005000090d0000c050000c000500 |
| $\beta = \Delta_L^4$ | 0x00000000d000000000000000a0000000 |



Результаты для остальных алгоритмов

| Алгоритм \ Кол-во раундов | 2 | 3 | 4 | 5 | 6 | 7 |
|---------------------------|-----------|-----------|-----------|-----------|-----------|------------|
| MORA-64 | 2^{-9} | 2^{-16} | 2^{-21} | 2^{-66} | 2^{-76} | × |
| MORA-80 | 2^{-10} | 2^{-24} | 2^{-41} | 2^{-68} | 2^{-94} | × |
| MORA-96 | 2^{-15} | 2^{-29} | 2^{-40} | × | 2^{-92} | 2^{-121} |
| MORA-128 | × | 2^{-43} | 2^{-51} | × | × | × |
| MORA-160 | × | × | × | × | × | × |

Таблица: Результат поиска дифференциальных путей для разных алгоритмов с 2 по 7 раунды внутреннего блочного шифра



Проблематика. Outbound-фаза

| $r \backslash \text{Алгоритм}$ | 64 | 80 | 96 | 128 | 160 |
|--------------------------------|-----------|-----------|------------|-----------|-----|
| 2 | 240/1335 | 300/1668 | 360/2001 | × | × |
| 3 | 680/2540 | 850/3174 | 1020/3808 | 1360/5076 | × |
| 4 | 1120/3742 | 1400/4681 | 1680/5613 | 2240/7479 | × |
| 5 | 1560/4959 | 1950/6191 | 2340/7423 | 3120/9887 | × |
| 6 | 2000/6164 | 2500/7701 | 3000/9233 | × | × |
| 7 | × | × | 3660/11045 | × | × |

Таблица: Количество переменных / неравенств в модели MILP в зависимости от числа раундов и алгоритма



Перспективы

- Перенос вычислений на графическом процессоре (GPU);
- Оптимизация перебора на фазе Inbound;
- Подходы к оптимизации MILP-моделей.



Вопросы?

